

# ЧИСЛЕННОЕ РЕШЕНИЕ ЗАДАЧИ ОХЛАЖДЕНИЯ ВЫСОКОТЕМПЕРАТУРНОГО СПЛОШНОГО МЕТАЛЛИЧЕСКОГО ЦИЛИНДРА

А.М. Липанов, С.С. Макаров

Рассмотрено построение математической модели охлаждения сплошного металлического цилиндра для исследования нестационарного теплообмена высокотемпературных металлических тел в охлаждающей среде. Приведены математическая модель и алгоритм численного решения задачи, а также результаты расчетов параметров теплообмена цилиндра и окружающей среды в зависимости от геометрии, теплофизических свойств и времени процесса. Проведена верификация численного решения задачи.

**Ключевые слова:** математическая модель, охлаждение, цилиндр, параметры теплообмена, численный расчет.

## Введение

Одной из задач, представляющих не только теоретический интерес, связанный с математическим моделированием, численным решением и анализом результатов, но и практический (например, использование в технологических операциях упрочнения металлических заготовок), является задача определения температуры и скорости охлаждения заготовок цилиндрической формы. Исследования в этом направлении проводили Н.В. Зимин, Г.Ф. Головин, Д.В. Будрин, М.В. Кондратов, Г.Н. Хейфец, А.С. Кадинова, Ю.Г. Эйсмонд и др. Полученные результаты исследований позволили сформировать общую картину процесса охлаждения металлических заготовок при термообработке.

Однако практически во всех рассмотренных работах приводятся только частные решения и обобщения в узком диапазоне режимных параметров охлаждения при типовом наборе свойств материала заготовки и охлаждающих сред. В связи с этим необходимость в научных исследованиях в этом направлении не теряет своей актуальности.

Запатентованные технологические решения [1, 2], полученные в результате натурных экспериментов и в процессе изготовления изделий специального назначения, получили дальнейшее развитие в работах [3, 4].

Данная работа является продолжением исследований в этом направлении и связана с построением математической модели и численным расчетом нестационарного теплообмена высокотемпературного металлического цилиндра в охлаждающей среде. Решается задача определения температур на границе и в произвольных точках цилиндра и охлаждаемой среды.

Результаты численных расчетов сопоставляются с результатами аналитического решения для конечного времени и результатами, полученными в программе ANSYS для произвольных моментов времени и изменяющихся теплофизических свойств контактирующих сред. При этом подразумевается, что дальнейшее развитие модели будет включать в себя расчетные алгоритмы, реализация которых не предусмотрена в других расчетных программных комплексах, например в программе ANSYS.

## Математическая модель задачи охлаждения

Как и в работе [5], за основу примем дифференциальное уравнение теплопроводности Био – Фурье. Если рассматривать тело цилиндрической формы, то распределение температуры в нем при условии соблюдения симметрии распределения ее относительно оси цилиндра

запишется так:

$$\frac{\partial}{\partial t} c\rho T = \frac{\partial}{\partial r} \left( \lambda \frac{\partial T}{\partial r} \right) + \frac{\lambda}{r} \frac{\partial T}{\partial r} + \frac{\partial}{\partial y} \left( \lambda \frac{\partial T}{\partial y} \right), \quad (1)$$

где  $c$  – удельная теплоемкость;  $\rho$  – плотность;  $\lambda$  – теплопроводность;  $T$  – температура;  $r, y$  – пространственные координаты по радиусу и длине.

Рассмотрим сначала одномерный случай для пространственной координаты  $r$ . Принимая

$c, \rho, \lambda = \text{const}$ , из уравнения (1) при условии, что температуропроводность материала  $a = \frac{\lambda}{c\rho}$ , получим

$$\frac{\partial T}{\partial t} = a \left( \frac{\partial^2 T}{\partial r^2} + \frac{1}{r} \frac{\partial T}{\partial r} \right), \quad (2)$$

где  $t$  – время.

Уравнение (2) запишем в разностной форме по неявной разностной схеме в виде

$$T_i^{n+1} = T_i^n + \frac{a\Delta t}{\Delta r^2} (T_{i+1}^{n+1} - 2T_i^{n+1} + T_{i-1}^{n+1}) + \frac{a\Delta t}{r_i} \frac{T_{i+1}^{n+1} - T_{i-1}^{n+1}}{2\Delta r}, \quad (3)$$

где  $T_{i-1}^{n+1}, T_i^{n+1}, T_{i+1}^{n+1}$  – температуры в предыдущем, искомом и последующем расчетных узлах на  $(n+1)$ -м временном слое;  $T_i^n$  – температура в искомом узле на  $n$ -м временном слое;  $\Delta r$  – шаг между расчетными узлами по пространственной координате  $r$ ;  $r_i$  – текущий радиус цилиндра;  $\Delta t$  – расчетный шаг по времени.

Здесь как первая, так и вторая производная аппроксимирована по  $r$  со 2-м порядком точности. Уравнение (3) можно записать в виде [6]

$$A_i T_{i+1}^{n+1} - C_i T_i^{n+1} + B_i T_{i-1}^{n+1} = -F_i, \quad (4)$$

где коэффициенты определяются по формулам:

$$A_i = \frac{a\Delta t}{\Delta r^2} + \frac{a\Delta t}{2r_i \Delta r}; \quad C_i = \frac{2a\Delta t}{\Delta r^2} + 1;$$

$$B_i = \frac{a\Delta t}{\Delta r^2} - \frac{a\Delta t}{2r_i \Delta r}; \quad F_i = T_i^n.$$

Если принять параметры  $c, \rho, \lambda$  переменными, то вторая производная правой части уравнения (1) запишется в виде

$$\begin{aligned} \frac{\partial}{\partial r} \lambda \frac{\partial T}{\partial r} &= \frac{\lambda_{i+0,5} \frac{\partial T_i}{\partial r} - \lambda_{i-0,5} \frac{\partial T_{i-1}}{\partial r}}{\Delta r} = \\ &= \frac{\lambda_{i+0,5} (T_{i+1} - T_i) - \lambda_{i-0,5} (T_i - T_{i-1})}{\Delta r^2}, \end{aligned}$$

где  $\lambda_{i+0,5}, \lambda_{i-0,5}$  – средняя теплопроводность между искомым и последующим и средняя теплопроводность между искомым и предыдущим расчетными узлами.

Для первой производной  $\frac{\partial T}{\partial r}$  воспользуемся центральной разностью

$$\frac{\partial T}{\partial r} = \frac{T_{i+1}^{n+1} - T_{i-1}^{n+1}}{2\Delta r}.$$

Уравнение (1) в целом в разностной форме будет иметь вид

$$(c\rho)_i^{n+1} T_i^{n+1} = (c\rho)_i^n T_i^n + \frac{\Delta t}{\Delta r^2} \left[ \lambda_{i+0,5}^{n+1} (T_{i+1}^{n+1} - T_i^{n+1}) - \lambda_{i-0,5}^{n+1} (T_i^{n+1} - T_{i-1}^{n+1}) \right] + \frac{\Delta t \lambda_i^{n+1}}{2r_i \Delta r} (T_{i+1}^{n+1} - T_{i-1}^{n+1}). \quad (5)$$

Уравнение (5) можно записать в форме (4) с коэффициентами:

$$\begin{aligned} A_i &= \frac{\Delta t \lambda_{i+0,5}^{n+1}}{\Delta r^2 (c\rho)_i^{n+1}} + \frac{\Delta t \lambda_i^{n+1}}{2r_i \Delta r (c\rho)_i^{n+1}}; \\ C_i &= \frac{\Delta t}{\Delta r^2 (c\rho)_i^{n+1}} (\lambda_{i+0,5}^{n+1} + \lambda_{i-0,5}^{n+1}) + 1; \\ B_i &= \frac{\Delta t \lambda_{i-0,5}^{n+1}}{\Delta r^2 (c\rho)_i^{n+1}} - \frac{\Delta t \lambda_i^{n+1}}{2r_i \Delta r (c\rho)_i^{n+1}}; \quad F_i = \frac{(c\rho)_i^n}{(c\rho)_i^{n+1}} T_i^n. \end{aligned}$$

Наряду с переменными параметрами  $c, \rho, \lambda$  рассмотрим еще и переменный шаги  $\Delta r$  интегрирования по  $r$ . Тогда вместо уравнения (5) получим:

$$\begin{aligned} (c\rho)_i^{n+1} T_i^{n+1} &= (c\rho)_i^n T_i^n + \\ &+ \frac{\Delta t}{\Delta \bar{r}_i} \left[ \lambda_{i+0,5}^{n+1} \frac{(T_{i+1}^{n+1} - T_i^{n+1})}{\Delta r_{i+1}} - \lambda_{i-0,5}^{n+1} \frac{(T_i^{n+1} - T_{i-1}^{n+1})}{\Delta r_i} \right] + \\ &+ \frac{\Delta t \lambda_i^{n+1}}{r_i (\Delta r_{i+1} + \Delta r_i)} (T_{i+1}^{n+1} - T_{i-1}^{n+1}), \end{aligned} \quad (6)$$

где  $\Delta \bar{r}_i = \frac{\Delta r_{i+1} + \Delta r_i}{2}$ ;  $\Delta r_i, \Delta r_{i+1}$  – шаги между расчетными узлами по пространственной координате  $r$  в искомом  $i$ -м и последующем  $(i+1)$ -м узлах.

Тогда уравнение (6) можно записать в виде уравнения (4) с коэффициентами:

$$\begin{aligned} A_i &= \frac{\Delta t \lambda_{i+0,5}^{n+1}}{\Delta \bar{r}_i \Delta r_{i+1}} + \frac{\Delta t \lambda_i^{n+1}}{r_i (\Delta r_{i+1} + \Delta r_i)}; \\ B_i &= \frac{\Delta t \lambda_{i-0,5}^{n+1}}{\Delta \bar{r}_i \Delta r_i} - \frac{\Delta t \lambda_i^{n+1}}{r_i (\Delta r_{i+1} + \Delta r_i)}; \end{aligned}$$

$$C_i = (c\rho)_i^{n+1} + \frac{\Delta t}{\Delta r_i} \left( \frac{\lambda_{i+0,5}^{n+1}}{\Delta r_{i+1}} + \frac{\lambda_{i-0,5}^{n+1}}{\Delta r_i} \right);$$

$$F_i = (c\rho)_i^n T_i^n.$$

Выразим температуру  $T_{i-1}^{n+1}$  как функцию  $T_i^{n+1}$  в виде равенства

$$T_{i-1}^{n+1} = \beta_{i-1}^{n+1} + \alpha_i^{n+1} T_i^{n+1}. \quad (7)$$

Подставив равенство (7) в уравнение (4), получим

$$T_i^{n+1} = \beta_{i+1}^{n+1} + \alpha_{i+1}^{n+1} T_{i+1}^{n+1},$$

где

$$\beta_{i+1}^{n+1} = \frac{B_i \beta_i^{n+1} + F_i}{C_i - B_i \alpha_i^{n+1}}; \quad \alpha_{i+1}^{n+1} = \frac{A_i}{C_i - B_i \alpha_i^{n+1}}. \quad (8)$$

Двумерную нестационарную задачу теплопроводности будем решать методом расщепления, записав разностные уравнения по пространственной координате  $y$ , так же как и по радиусу  $r$  в виде безусловно устойчивой локально-одномерной неявной схемы:

по радиусу  $r$

$$(c\rho T)_{i,j}^{n+1} = (c\rho T)_{i,j}^n + \frac{1}{2} (A_i T_{i+1,j} - C_i T_{i,j} + B_i T_{i-1,j})^{n+\frac{1}{2}};$$

по координате  $y$ :

$$(c\rho T)_{i,j}^{n+1} = (c\rho T)_{i,j}^{n+\frac{1}{2}} + \frac{1}{2} (A_j T_{i,j+1} - C_j T_{i,j} + B_j T_{i,j-1})^{n+1}.$$

Коэффициенты  $A_j$ ,  $B_j$ ,  $C_j$ ,  $F_j$  будут определяться выражениями:

$$A_j = \frac{\Delta t \lambda_{j+0,5}^{n+1}}{\Delta y^2}; \quad B_j = \frac{\Delta t \lambda_{j-0,5}^{n+1}}{\Delta y^2};$$

$$C_j = \frac{\Delta t (\lambda_{j+0,5}^{n+1} + \lambda_{j-0,5}^{n+1})}{\Delta y^2} + (c\rho)_j^{n+1};$$

$$F_j = (c\rho T)_{i,j}^{n+\frac{1}{2}},$$

где  $\Delta y$  – шаг интегрирования по  $y$ .

Каждое разностное уравнение описывает продвижение по одной из пространственных координат на  $1/2$  временного шага  $\Delta t$ . Благодаря такому подходу становится возможным при решении системы уравнений применять эффективный метод прогонки [7].

На границе цилиндра, его внешней поверхности по радиусу  $r = R$ , будем использовать условие

$$\frac{\partial T}{\partial r} = -\frac{\alpha(t)}{\lambda_0} (T_l - T_0), \quad (9)$$

где  $\alpha(t)$  – коэффициент теплоотдачи;  $\lambda_0$  – те-

плопроводность граничного слоя материала;  $T_l$ ,  $T_0$  – температуры охлаждающей среды и охлаждаемой поверхности.

Запишем равенство (9) в разностной форме

$$\frac{T_l - T_{-1}}{2\Delta r} = -\frac{\alpha(t)}{\lambda_0} (T_l - T_0). \quad (10)$$

Воспользуемся уравнением (5) при  $i = 0$ :

$$(c\rho)_0^{n+1} T_0^{n+1} = (c\rho)_0^n T_0^n + \\ + \frac{\Delta t}{\Delta r^2} \left[ \lambda_{+0,5}^{n+1} (T_1^{n+1} - T_0^{n+1}) - \lambda_{-0,5}^{n+1} (T_0^{n+1} - T_{-1}^{n+1}) \right] + \\ + \frac{\Delta t \lambda_0^{n+1}}{2r_0 \Delta r} (T_1^{n+1} - T_{-1}^{n+1}). \quad (11)$$

Запишем уравнение (10) для  $(n+1)$ -го временного слоя. Исключим из уравнения (11) температуру  $T_{-1}^{n+1}$  с помощью равенства (10) и получим

$$T_0^{n+1} = \beta_1 + \alpha_1 T_1^{n+1},$$

где

$$\alpha_1 = \frac{\frac{\Delta t}{\Delta r^2} (\lambda_{+0,5} + \lambda_{-0,5})}{(c\rho)_0^{n+1} + \frac{\Delta t}{\Delta r^2} (\lambda_{+0,5} + \lambda_{-0,5}) + \frac{\Delta t}{\Delta r} \alpha(t) \left( 2 \frac{\lambda_{-0,5}}{\lambda_0} - \frac{\Delta r}{r_0} \right)}; \\ \beta_1 = \frac{(c\rho)_0^n T_0^n + \frac{\Delta t}{\Delta r} \alpha(t) \left( 2 \frac{\lambda_{-0,5}}{\lambda_0} - \frac{\Delta r}{r_0} \right) T_l}{(c\rho)_0^{n+1} + \frac{\Delta t}{\Delta r^2} (\lambda_{+0,5} + \lambda_{-0,5}) + \frac{\Delta t}{\Delta r} \alpha(t) \left( 2 \frac{\lambda_{-0,5}}{\lambda_0} - \frac{\Delta r}{r_0} \right)}.$$

С помощью равенств (8) при  $i = 1$  определим  $\alpha_2$  и  $\beta_2$ . Увеличивая номер  $i$  на единицу, последовательно рассчитаем все прогоночные коэффициенты  $\alpha_i$  и  $\beta_i$  ( $i = 1, 2, \dots, N$ ), в том числе  $\alpha_N$  и  $\beta_N$ . Аналогично можно рассмотреть граничное условие и по пространственной координате  $y$ .

При решении уравнения теплопроводности для пространственной координаты  $r$  расчеты начинаем с поверхности цилиндра по направлению к центру. Поскольку уравнение теплопроводности при условии, что  $c$ ,  $\rho$ ,  $\lambda$  являются переменными, имеет вид

$$\frac{\partial}{\partial t} c\rho T = \frac{\partial}{\partial r} \lambda \frac{\partial T}{\partial r} + \frac{\lambda}{r} \frac{\partial^2 T}{\partial r^2}, \quad (12)$$

то запишем отношение  $\frac{1}{r} \frac{\partial T}{\partial r}$  при  $r \rightarrow 0$ . В центре цилиндра имеем граничные условия  $\frac{\partial T}{\partial r} = 0$ . Аппроксимируя в окрестности  $r = 0$

температуру выражением, представляющим собой четную функцию  $T_1 = T_0 + Kr^2$ , получим  $\frac{\partial T}{\partial r} = 2Kr$ , а  $\frac{1}{r} \frac{\partial T}{\partial r} = 2K$ .

Вторая производная  $\frac{\partial^2 T}{\partial r^2}$  тоже будет равна  $2K$ , а уравнение (12) примет вид:

$$\frac{\partial}{\partial t} c\rho T = \frac{\partial}{\partial r} (2\lambda Kr) + 2\lambda K.$$

Вынесем  $\lambda$  за знак производной  $\frac{\partial}{\partial r}$  как среднее значение  $\bar{\lambda}$ :

$$\frac{\partial}{\partial t} c\rho T = 2\bar{\lambda}K + 2\lambda K, \quad (13)$$

где  $\bar{\lambda} = \frac{\lambda_0 + \lambda_1}{2}$ .

Постоянную  $K$  определим из равенства

$$K = \frac{T_1 - T_0}{\Delta r^2}.$$

Уравнение (12) с учетом уравнения (13) в разностной форме будет иметь вид

$$(c\rho)_0^{n+1} T_0^{n+1} = (c\rho)_0^n T_0^n + (1 + \bar{\lambda}^{n+1}) \frac{2\Delta t}{\Delta r^2} (T_1^{n+1} - T_0^{n+1}), \quad (14)$$

поэтому можно записать

$$T_0^{n+1} = \beta_1 + \alpha_1 T_1^{n+1},$$

где

$$\alpha_1 = \frac{(1 + \bar{\lambda}^{n+1}) \frac{2\Delta t}{\Delta r^2}}{(c\rho)_0^{n+1} + (1 + \bar{\lambda}^{n+1}) \frac{2\Delta t}{\Delta r^2}}; \quad (15)$$

$$\beta_1 = \frac{(c\rho)_0^n T_0^n}{(c\rho)_0^{n+1} + (1 + \bar{\lambda}^{n+1}) \frac{2\Delta t}{\Delta r^2}}.$$

Как видно из уравнения (15), вновь  $\alpha_1 < 1$ . При  $r = r_1$  уравнение (12) запишем как уравнение для любой внутренней точки, только при  $r_1 = \Delta r$ .

При переменном шаге в уравнении (14) вместо  $\Delta r$  следует писать  $\Delta r_1$ . Осуществляя прямую прогонку, найдем все значения  $a_i$ , включая значения  $\alpha_N$  и  $\beta_N$ . Затем обратной прогонкой найдем температуры в расчетных узлах.

Далее пусть речь идет не об однородном материале, а о среде, состоящей из двух материалов – металла и жидкости. На границе их сопряжения должны выполняться граничные условия IV рода, которые подразумевают равенства температур  $T_0^m = T_0^l$  на границе раздела двух сопрягаемых тел и тепловых потоков, проходящих через границу сопряжения:

$$\lambda^m \frac{\partial T_0^m}{\partial r} = \lambda^l \frac{\partial T_0^l}{\partial r}, \quad (16)$$

где индекс  $m$  относится к металлу, а индекс  $l$  – к жидкости.

Обозначим границу перехода разных материалов, как это показано на рис. 1, в виде прямой  $EF$ .

Обозначим индексом «ноль» параметры в точке  $V$ . Введем две фиктивные точки  $A$  и  $B$ . Пусть точка  $A$  находится на продолжении кривой  $CV$ , а точка  $B$  – на продолжении кривой  $DV$ . Примем, что точка  $A$  в жидкости находится на удалении от границы  $FE$ , равном  $\Delta r_1$ , а вторая точка в металле (точка  $B$ ) – на удалении от границы  $EF$ , равном  $\Delta r_0$ .

Принимаем, что шаги  $\Delta r_0$  и  $\Delta r_1$  не совпадают. Для удобства вычислений примем также, что шаг  $\Delta r_1$  в целое число раз отличается от шага  $\Delta r_0$ . Кроме того, коэффициенты  $c$ ,  $\rho$ ,  $\lambda$  будем рассматривать переменными. Из уравнения (16), отнесенного к  $(n+1)$ -му временному слою, получим

$$\lambda_0^m \frac{T_A - T_{-1}}{\Delta r_1 + \Delta r_0} = \lambda_0^l \frac{T_1 - T_B}{\Delta r_1 + \Delta r_0}. \quad (17)$$

В точке  $V$  со стороны металла и жидкости имеем:

$$(c\rho T)_0^{n+1} = (c\rho T)_{0,m}^n + \frac{\Delta t(1-\sigma)}{\Delta r_0} \left[ \frac{\lambda_{0,m}^{n+1}}{\Delta r_1} (T_A - T_0)^{n+1} - \frac{\lambda_{-0.5,m}^{n+1}}{\Delta r_0} (T_0 - T_{-1})^{n+1} \right] + \frac{\Delta t\sigma}{\Delta r_0} \left[ \frac{\lambda_{0,m}^n}{\Delta r_1} (T_A - T_0)^n - \frac{\lambda_{-0.5,m}^n}{\Delta r_0} (T_0 - T_{-1})^n \right]; \quad (18)$$



Рис. 1. Граница перехода между металлом и жидкостью

$$(c\rho T)_{0,l}^{n+1} = (c\rho T)_{0,l}^n + \\ + \frac{\Delta t(1-\sigma)}{\Delta \bar{r}_0} \left[ \frac{\lambda_{+0,5,l}^{n+1}}{\Delta r_1} (T_1 - T_0)^{n+1} - \frac{\lambda_{0,l}^{n+1}}{\Delta r_0} (T_0 - T_B)^{n+1} \right] + \\ + \frac{\Delta t\sigma}{\Delta \bar{r}_0} \left[ \frac{\lambda_{+0,5,l}^n}{\Delta r_1} (T_1 - T_0)^n - \frac{\lambda_{0,l}^n}{\Delta r_0} (T_0 - T_B)^n \right], \quad (19)$$

где  $\Delta \bar{r}_0 = \frac{\Delta r_0 + \Delta r_1}{2}$ ;  $\Delta r_0$  – отрезок  $VB$ ;  $\Delta r_1$  – отрезок  $AV$ ;  $\sigma$  – весовой параметр, изменяющийся в интервале  $(0,1)$ .

Используя уравнения (18) и (19), исключим фиктивные переменные  $T_A$  и  $T_B$  из уравнения (17) и получим равенство, содержащее на  $(n+1)$ -м временном слое только переменные  $T_1^{n+1}$ ,  $T_0^{n+1}$ ,  $T_{-1}^{n+1}$ :

$$A_0 T_1^{n+1} - C_0 T_0^{n+1} + B_0 T_{-1}^{n+1} + F_0 = 0, \quad (20)$$

где

$$A_0 = \frac{\Delta t(1-\sigma)}{\Delta \bar{r}_0} \frac{\lambda_{+0,5,l}^{n+1}}{\Delta r_1} \left( 1 + \frac{\Delta r_0}{\Delta r_1} \frac{\lambda_{+0,5,l}^{n+1}}{\lambda_{0,l}^{n+1}} \right); \\ B_0 = \frac{\Delta t(1-\sigma)}{\Delta \bar{r}_0} \frac{\lambda_{-0,5,m}^{n+1}}{\Delta r_0} \left( 1 + \frac{\Delta r_0}{\Delta r_1} \frac{\lambda_{+0,5,m}^{n+1}}{\lambda_{-0,5,m}^{n+1}} \right); \\ C_0 = \frac{\Delta t(1-\sigma)}{\Delta \bar{r}_0} \left[ \frac{\lambda_{0,m}^{n+1}}{\Delta r_1} + \frac{\lambda_{-0,5,m}^{n+1}}{\Delta r_0} + \frac{\lambda_{+0,5,m}^{n+1}}{\Delta r_1} + \frac{(\lambda_{+0,5,l}^{n+1})^2}{(\Delta r_1)^2} \frac{\Delta r_0}{\lambda_{0,l}^{n+1}} \right];$$

$$F_0 = (c\rho)_{0,m}^n T_0^n + \\ + \frac{\Delta t\sigma}{\Delta \bar{r}_0} \left[ \frac{\lambda_{0,m}^n}{\Delta r_1} (T_A - T_0)^n - \frac{\lambda_{-0,5,m}^n}{\Delta r_0} (T_0 - T_{-1})^n \right] + \\ + \frac{\lambda_{0,m}^{n+1}}{\lambda_{-0,5,m}^{n+1}} \frac{\Delta r_0}{\Delta r_1} \left\{ (c\rho)_{0,l}^n T_0^n + \frac{\Delta t\sigma}{\Delta \bar{r}_0} \times \right. \\ \left. \times \left[ \frac{\lambda_{+0,5,l}^n}{\Delta r_1} (T_1 - T_0)^n - \frac{\lambda_{0,l}^n}{\Delta r_0} (T_0 - T_B)^n \right] \right\}.$$

Перемещаясь в направлении увеличения значений  $i$  (см. рис. 2) в однородном материале и показывая, что все  $\alpha_i$  ( $i=2,3,\dots,N$ ) меньше единицы, получим и  $\alpha_0 < 1$ . Подставив в уравнение (20) выражение  $T_{-1}^{n+1} = \beta_0^{n+1} + \alpha_0^{n+1} T_0^{n+1}$ , получим

$$A_0 T_1^{n+1} - C_0 T_0^{n+1} + B_0 (\beta_0^{n+1} + \alpha_0^{n+1} T_0^{n+1}) + F_0 = 0,$$

отсюда

$$T_0^{n+1} = \beta_1^{n+1} + \alpha_1^{n+1} T_1^{n+1},$$

где

$$\beta_1^{n+1} = \frac{B_0 \beta_0^{n+1} + F_0}{C_0 - B_0 \alpha_0^{n+1}}; \quad \alpha_1^{n+1} = \frac{A_0}{C_0 - B_0 \alpha_0^{n+1}}.$$

Рассмотрим разность  $C_0 - B_0 \alpha_0^{n+1}$ . Коэффициент  $B_0$  входит как слагаемое в коэффициент  $C_0$ . Поскольку  $\alpha_0^{n+1} < 1$ , то в результате вычитания  $B_0 \alpha_0^{n+1}$  получим положительное число. Коэффициент  $A_0$  также входит в коэффициент в качестве слагаемого  $C_0$ , поэтому можно утверждать, что знаменатель выражения для  $\alpha_1^{n+1}$  больше числителя и  $\alpha_1^{n+1} < 1$ . Имея  $\alpha_1^{n+1} < 1$ , для  $\alpha_i^{n+1}$  ( $i=2,3,\dots,N$ ) с можно показать, что они тоже меньше единицы. Здесь  $N$  – количество расчетных узлов.

В окрестности границы сопряжения материалов при выполнении расчетов шаги  $\Delta r_i$  разностных сеток измельчаем со стороны металла и со стороны жидкости так, как это показано на рис. 2.

По аналогии с уравнениями (9) – (11) значения коэффициентов для уравнения  $T_0^{n+1} = \beta_1 + \alpha_1 T_1^{n+1}$  на внешней границе по пространственной координате  $y$  примут вид:

$$\alpha_1 = \frac{\frac{\Delta t(\lambda_{0,5} + \lambda_{-0,5})}{(\Delta y)^2}}{(c\rho)_0^{n+1} + \frac{\Delta t}{\Delta y} \left[ \frac{\lambda_{0,5} + \lambda_{-0,5}}{\Delta y} + 2\alpha(t) \frac{\lambda_{-0,5}}{\lambda_0} \right]}, \\ \beta_1 = \frac{(c\rho)_0^n T_0^n + \frac{2\Delta t}{\Delta y} \alpha(t) \frac{\lambda_{-0,5}}{\lambda_0} T_1}{(c\rho)_0^{n+1} + \frac{\Delta t}{\Delta y} \left[ \frac{\lambda_{0,5} + \lambda_{-0,5}}{\Delta y} + 2\alpha(t) \frac{\lambda_{-0,5}}{\lambda_0} \right]}.$$

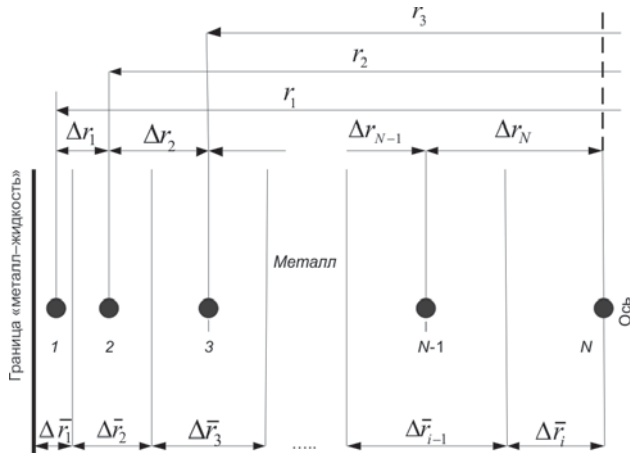


Рис. 2. Измельчение сетки на границе сопрягаемых материалов

### Результаты численных расчетов

**Пример 1.** Для верификации математической модели проведем сопоставление результатов численных расчетов с результатами аналитического решения двумерной задачи охлаждения сплошного металлического цилиндра [8]. Расчетная схема цилиндра, имеющего размеры:  $R=0,04$  м;  $Y=0,16$  м, приведена на рис. 3. Начальная температура тела составляла  $T_0 = 800$  °C, температура охлаждающей среды  $T_l = 30$  °C. Теплопроводность материала цилиндра  $\lambda=23,3$  Вт/(м·К), температуропроводность  $a = 6,11 \cdot 10^{-6}$  м<sup>2</sup>/с. Коэффициент теплоотдачи с поверхности охлаждения принят постоянным и равным  $\alpha=118$  Вт/(м<sup>2</sup>·К). Расчетное время охлаждения составляло  $t = 1800$  с, шаг по времени  $\Delta t = 0,02$  с.

Численные значения температуры (см. рис. 4), полученные по предлагаемой модели, близки к значениям результатов аналитического решения и численного решения в программе ANSYS CFX (Academic research CFX Pad App, лицензия инв. № M000014044 от 2007 г., ИжГТУ). Расчет в программе ANSYS проведен с приме-

нением равномерной сетки, количество расчетных узлов по  $R$  и по  $Y$  составляло 100, шаг по времени  $\Delta t = 0,02$  с. Таким образом, численное решение по предлагаемой модели стремится к решению в программе ANSYS при измельчении расчетной сетки (см. таблицу).

**Пример 2.** Воспользуемся геометрией расчетной сетки примера 1 и рассмотрим случай, когда расчетная область по радиусу состоит из двух частей. Первая (внешняя) часть – это область, в которой вода начинается с внешнего радиуса  $r_j=0,04$  м и продолжается до границы раздела сред, а вторая (внутренняя) часть – это область, в которой металл начинается с радиуса границы раздела  $r_s=0,02$  м и продолжается до оси (рис. 5). Примем допущение об отсутствии конвекции в слое воды и будем рассматривать ее как неподвижное твердое тело.

Температура воды  $T_l = 20$  °C, теплопроводность  $\lambda=0,6$  Вт/(м·К), температуропроводность  $a = 1,43 \cdot 10^{-7}$  м<sup>2</sup>/с, температура окружающей среды  $T = 20$  °C. Коэффициент теплоотдачи с поверхности воды и торцевых поверхностей охлаждения принят постоянным  $\alpha = 118$  Вт/(м<sup>2</sup>·К). Расчетное время охлаждения  $t = 50$  с, шаг по времени  $\Delta t = 0,02$  с.

Расчет в программе ANSYS проведен также с применением равномерной сетки, количество расчетных узлов по  $R$  и  $Y$  составляло 100, шаг по времени  $\Delta t = 0,02$  с. Численное решение по предлагаемой модели (рис. 6, а) стремится к решению в программе ANSYS (рис 6, б) при



Рис. 3. Схема двумерной расчетной области

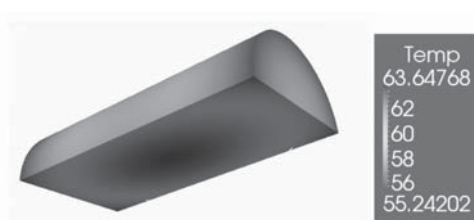


Рис. 4. Температурное поле расчетной области

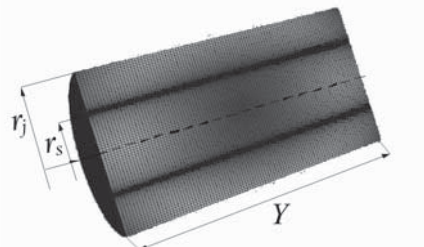


Рис. 5. Схема расчетной области «металл – вода»

### Сравнение температур в центре на оси расчетной области (в °C)

Размер сетки	Численный расчет по предлагаемой модели	Аналитический расчет [8]	Численный расчет в программе ANSYS
$R=100, Y=100$	63,6	$\approx 60$	$\approx 61,9$
$R=200, Y=200$	63,2	$\approx 60$	$\approx 61,9$
$R=400, Y=400$	62,9	$\approx 60$	$\approx 61,9$

измельчении расчетной сетки. Коэффициент, характеризующий сгущение сетки  $k = 2\Delta\bar{r}_i/\Delta\bar{r}_1$ , со стороны металла и воды составлял 12. Суммарное количество расчетных узлов в модельном решении составляло 62 по  $R$  и 100 по  $Y$ . При заданных исходных данных примера расходжение с численным решением в программе ANSYS по температуре в узловых точках составляло порядка 0,3 %.

**Пример 3.** Рассмотрим геометрию и параметры расчетной сетки примера 2 с условием, что теплофизические параметры материала сред ( $c, \rho, \lambda$ ) будут переменными. Примем в качестве металла сталь 45. По результатам обработки табличных данных работы [9] в диапазоне температур 20–800 °C имеем:

$$\lambda = -2,5529 \cdot 10^{-5} T^2 - 6,68764 \cdot 10^{-3} T + 48,58873;$$

$$c = 2,0939 \cdot 10^{-4} T^2 + 0,14089T + 476,08223;$$

$$\rho = 9,51467 \cdot 10^{-5} T^2 - 0,4018T + 7839,6.$$

Для воды по результатам обработки табличных данных работы [10] в диапазоне 20–100 °C получим:

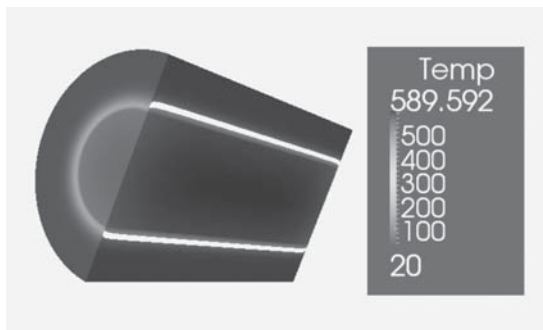
$$\begin{aligned}\lambda &= -1,25058 \cdot 10^{-5} T^2 - 2,55695 \cdot 10^{-3} T + 0,55129; \\ c &= 0,01647T^2 - 1,48776T + 4207,38; \\ \rho &= -3,57459 \cdot 10^{-3} T^2 - 0,06863T + 1000,5.\end{aligned}$$

Расчет проведем при начальной температуре тела  $T_0 = 100$  °C, температуре охлаждающей среды  $T_i = 20$  °C .

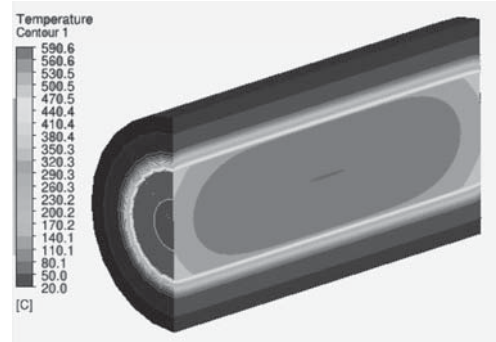
Расхождение полученных результатов по разработанной модели (рис. 7, *a*) с численным решением в программе ANSYS (рис. 7, *b*) в расчетных узлах не превысило 0,5 %.

### Заключение

Результаты численного решения задачи нестационарного теплообмена при охлаждении высокотемпературного металлического цилиндра в зависимости от геометрии, теплофизических свойств материала тела и времени процесса доказывают адекватность разработанной математической модели. Сопоставление результатов численных расчетов с аналитическими данными и результатами, полученными в программе ANSYS, позволяет говорить об удовлетворительной точности расчетной модели.

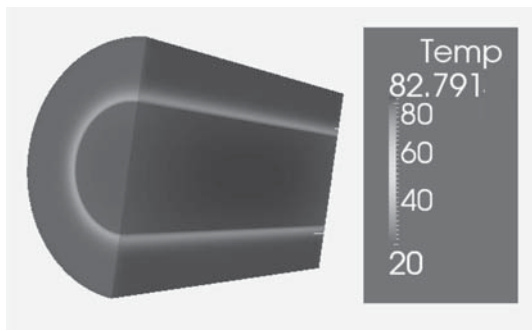


*a*

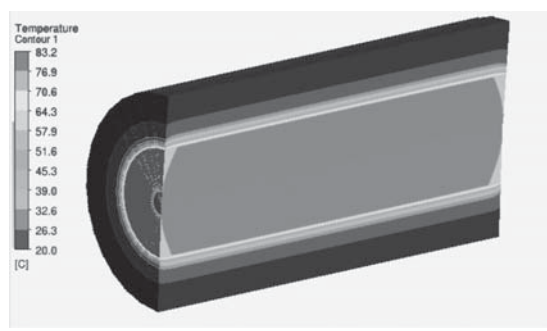


*b*

Рис. 6. Температурное поле при  $t = 50$  с (шаг по времени  $\Delta t = 0,02$  с,  $c, \rho, \lambda = \text{const}$ ):  
*a* – расчет по модели; *b* – расчет в программе ANSYS



*a*



*b*

Рис. 7. Температурное поле при  $t = 50$  с (шаг по времени  $\Delta t = 0,02$  с,  $c, \rho, \lambda = f(T)$ ):  
*a* – расчет по модели; *b* – расчет в программе ANSYS

Это значит, что предлагаемый алгоритм численного решения можно использовать для дальнейшей разработки и при решении задач охлаждения, реализация которых не предусмотрена другими расчетными программными комплексами, например программой ANSYS.

### **Список литературы**

1. Пат. 2353669 Российская Федерация: МПК<sup>7</sup> А. Способ закалки металлических изделий / В.Б. Дементьев, А.М. Липанов, О.И. Шаврин, А.Л. Ураков, Ф.З. Сабриков, Р.В. Гоц, С.С. Макаров; Институт прикладной механики УрО РАН; № 2007117651/02; заявл. 11.05.2007; опубл. 27.04.2009. Бюл. № 12.
2. Пат. 2354712 Российская Федерация: МПК<sup>7</sup> А. Способ создания охлаждающей среды с регулируемыми теплофизическими свойствами / В.Б. Дементьев, А.М. Липанов, С.Н. Храмов, С.С. Макаров; Институт прикладной механики УрО РАН; № 2007125180/02; заявл. 03.06.2007; опубл. 10.05.2009. Бюл. № 13.
3. Макаров С.С. Исследование начальной стадии теплообмена при спрейерном охлаждении металлических изделий // Химическая физика и мезоскопия. 2010. Т. 12. № 3. С. 325–332.
4. Макаров С.С., Храмов С.Н. Математическое моделирование водо-воздушного охлаждения металлических заготовок в процессе термообработки // Вестник ИжГТУ им. М.Т. Калашникова. 2011. Вып. 2. С. 47–51.
5. Липанов А.М., Макаров С.С. Численное решение задачи нестационарного теплообмена при охлаждении высокотемпературного металлического тела прямоугольной формы // Вестник ИжГТУ им. М.Т. Калашникова. 2012. Вып. 2 (54). С. 35–38.
6. Самарский А.А., Гулин А. В. Численные методы. – М.: Наука, 1989. – 432 с.
7. Яненко Н.Н. Метод дробных шагов решения многомерных задач математической физики. – Новосибирск, Сибирское изд-ние: Наука, 1967. – 197 с.
8. Лобасова М.С. Тепломассообмен: учебное пособие к практическим занятиям. – Красноярск: ИПК СФУ, 2009. – 156 с.
9. Марочник сталей и сплавов / Под общ. ред. А.С. Зубченко. – М.: Машиностроение, 2003. – 784 с.
10. Варгафтик Н.Б. Справочник по теплофизическими свойствам газов и жидкостей. – М.: Наука, 1972. – 720 с.

*Материал поступил в редакцию 28.08.2012*

### **ЛИПАНОВ Алексей Матвеевич**

E-mail: [ipm@udman.ru](mailto:ipm@udman.ru)  
Тел.: (3412) 50-82-00

Академик РАН, директор Института механики УрО РАН. Сфера научных интересов – математическое моделирование внутрикамерных процессов в твердо-топливных ракетных двигателях и установках, использующих твердое топливо; методы численного решения систем трансцендентных алгебраических и дифференциальных уравнений с частными производными для односвязных и много связных объемов интегрирования; создание автоматизированных систем; теоретическое и экспериментальное исследование наносистем и создание средств диагностикиnanoструктур; исследование и разрешение экологических проблем. Автор более 500 научных трудов.

### **МАКАРОВ Сергей Сергеевич**

E-mail: [ssmak15@mail.ru](mailto:ssmak15@mail.ru)  
Тел.: (3412) 20-29-25

Кандидат технических наук, доцент, заведующий лабораторией термодеформационных процессов Института механики УрО РАН. Сфера научных интересов – гидродинамика и теплообмен в технических объектах и системах, математические модели движения сред в условиях нестационарного теплообмена. Автор 45 научных трудов.